

# Насыщение интенсивности в филаменте фемтосекундного лазерного излучения

**В.П.Кандидов, В.Ю.Федоров, О.В.Тверской, О.Г.Косарева, С.Л.Чин**

*Численно исследована эволюция интенсивности светового поля и наведенных показателей преломления среды при филаментации фемтосекундного лазерного излучения в воздухе. Показано, что интенсивность в филаменте насыщается в результате динамического баланса оптических сил нелинейных линз, наведенных излучением вследствие керровской нелинейности воздуха, и лазерной плазмы, возникающей при фотоионизации. Установлено соотношение между пиковыми значениями интенсивности светового поля и концентрации электронов в лазерной плазме, а также поперечными размерами филамента и плазменного канала.*

**Ключевые слова:** филаментация, фемтосекундный импульс, насыщение интенсивности, лазерная плазма, нелинейная линза, керровская самофокусировка, плазменная дефокусировка.

## 1. Введение

При распространении фемтосекундного лазерного излучения в прозрачных диэлектриках световое поле локализуется в узком протяженном филаменте, формирование которого является результатом нелинейно-оптического взаимодействия со средой излучения малой длительности [1–4]. Филамент представляет собой непрерывное множество нелинейных фокусов, которые образуются вследствие керровской самофокусировки во временных слоях импульса, начиная со слоя, соответствующего пиковой мощности, и затем последовательно в других слоях его переднего фронта. Область локализации энергии в нелинейных фокусах «летит» вперед вместе с импульсом, «прочерчивая» протяженный филамент. Коллапсирующий рост интенсивности в нелинейных фокусах ограничивается дефокусировкой излучения в наведенной лазерной плазме, которая генерируется при интенсивности, превышающей порог фотоионизации среды. Ограничение керровского нарастания интенсивности лазерного излучения впервые обнаружено для импульса пикосекундной длительности при оптическом пробое в стекле [5], а впоследствии зарегистрировано в лабораторных экспериментах по филаментации фемтосекундных лазерных импульсов в воздухе [6–8]. Однако на атмосферных трассах протяженностью в несколько сотен метров не удалось зарегистрировать лазерную плазму на всей длине филамента [9]. Динамический баланс керровской самофокусировки и плазменной дефокусировки приводит к стабильности параметров в протяженном филаменте фем-

тосекундного импульса. В настоящее время обсуждается влияние нелинейностей высшего порядка среды на ограничение роста интенсивности лазерного излучения в филаменте [10, 11].

Параметры филамента определяются нелинейно-оптическими свойствами среды, длиной волны импульсного лазерного излучения и его фокусировкой. Согласно различным экспериментальным данным в воздухе на длине волны 800 нм критическая мощность самофокусировки  $P_{cr} = 2 - 5 \text{ ГВт}$ , радиус филамента коллимированного излучения  $r_{fil} \approx 50 \text{ мкм}$ , радиус плазменного канала  $r_{pl} \approx 20 \text{ мкм}$ , пиковая интенсивность  $I_{peak} = 10^{13} - 10^{14} \text{ Вт/см}^2$  [4]. Для оценки интенсивности светового поля и концентрации электронов в работе [12] применен анализ Джавана – Келли [13], согласно которому как фазовый набег, вызванный керровской нелинейностью, так и набег, обусловленный дифракцией и плазменной нелинейностью, равны по модулю. Максимальная интенсивность светового поля при филаментации в воздухе, полученная в [14] из этого условия с привлечением экспериментальных данных о скорости фотоионизации азота и кислорода, составляет  $5 \times 10^{13} \text{ Вт/см}^2$ , что хорошо согласуется с результатами экспериментов с использованием титан-сапфирового лазера. Вместе с тем равенство по модулю керровского и плазменного приращений показателя преломления на оси пучка импульсного излучения не означает, что оптические силы нелинейных линз, фокусирующих и дефокусирующих излучение, становятся равными по модулю. Действительно, диаметр плазменного канала, в котором приращение показателя преломления отрицательно, значительно меньше диаметра филамента, т. е. области, в которой приращение показателя преломления положительно [15]. При таком соотношении геометрических параметров филамента равенство оптических сил наведенных нелинейных линз возможно лишь при существенно различных по модулю приращениях показателя преломления, обусловленных плазменной и керровской нелинейностями на оси пучка импульсного излучения [16].

В настоящей работе исследуется эволюция с расстоянием распределений интенсивности фемтосекундного ла-

**В.П.Кандидов, В.Ю.Федоров, О.В.Тверской, О.Г.Косарева.** Московский государственный университет им. М.В.Ломоносова, физический факультет, Россия, 119991 Москва, Воробьевы горы;  
e-mail:kandidov@physics.msu.ru

**S.L.Chin.** Centre d'Optique, Photonique et Laser (COPL) and Département de Physique, de Génie Physique et d'Optique, Université Laval, Québec, Québec G1V0A6, Canada;  
e-mail: see.leang.chin@copl.ulaval.ca

Поступила в редакцию 10 ноября 2010 г., после доработки – 7 февраля 2011 г.

зерного излучения, приращений фазы и показателя преломления, вызванных в воздухе керровской нелинейностью и нелинейностью наведенной лазерной плазмы. Показано, что насыщение лавинного роста интенсивности при самофокусировке временных слоев импульса определяется оптической силой линз, связанных с керровской и плазменной нелинейностями. На основе анализа оптической силы нелинейно-оптических линз, наведенных в среде, получено соотношение для геометрических параметров филамента и плазменного канала, а также для пиковых значений интенсивности излучения и концентрации электронов.

## 2. Оптическая сила нелинейных линз

В газах приращение  $\Delta n_K(r, z, t)$  показателя преломления, вызванное кубической нелинейностью, определяется вкладом электронной компоненты, который можно считать мгновенным для импульса фемтосекундной длительности, и вкладом вынужденного рассеяния на вращательных переходах, для которого характерное время отклика в воздухе  $\tau_{nl} = 70$  фс [17]. Согласно [18] для приращения  $\Delta n_K(r, z, t)$  в воздухе применима аппроксимация

$$\Delta n_K(r, z, t) = \frac{1}{2} n_2 \left[ I(r, z, t) + \int H(t - t') I(r, z, t') dt' \right], \quad (1)$$

где  $I(r, z, t)$  – интенсивность лазерного излучения;  $H(t)$  – функция нелинейного отклика воздуха, обусловленного вынужденным рассеянием;  $n_2$  – коэффициент нелинейности воздуха, определяемый для импульсов, длительность которых  $\tau_0 \gg \tau_{nl}$ .

Изменение  $\Delta n_{pl}(r, z, t)$  показателя преломления воздуха, связанное с генерацией лазерной плазмы, определяется процессами фотоионизации, поскольку вклад лавинной ионизации в газах атмосферного давления пре-небрежимо мал:

$$\Delta n_{pl}(r, z, t) = -\frac{e^2 \lambda^2}{8\pi^2 m_e \epsilon_0 c_0^2} N_e(r, z, t), \quad (2)$$

где  $e$  и  $m_e$  – заряд и масса электрона;  $\epsilon_0$  – электрическая постоянная;  $c_0$  – скорость света;  $\lambda$  – центральная длина волны в спектре импульса. Изменение концентрации электронов  $N_e$  в пренебрежении рекомбинацией и лавинной ионизацией в воздухе атмосферного давления описывается кинетическим уравнением

$$\frac{\partial N_e(r, z, t)}{\partial t} = R(I)[N_0 - N_e(r, z, t)], \quad (3)$$

где  $R(I)$  и  $N_0 = 10^{19}$  см<sup>-3</sup> – скорость ионизации газовых компонентов воздуха и их концентрация.

При филаментации фемтосекундного излучения формируются осесимметричная мода Таунса и, следовательно, осесимметричные распределения наведенных приращений показателя преломления в плоскости поперечного сечения лазерного пучка. Наведенные приращения  $\Delta n_K(r, z, t)$  и  $\Delta n_{pl}(r, z, t)$  меняются со временем в течение импульса и с расстоянием  $z$  вдоль направления его распространения. Эволюция с расстоянием профиля интенсивности  $I(r, z, t^*)$  в некотором временном слое импульса ( $t = t^*$ ) определяется радиальным распределением изменений фазы комплексной амплитуды, вызванных керров-

ской ( $\Delta\phi_K(r, z, t^*)$ ) и плазменной ( $\Delta\phi_{pl}(r, z, t^*)$ ) нелинейностями. Как следует из уравнения эйконала комплексной амплитуды в нелинейной среде [19], изменения фазы  $\Delta\phi_{K,pl}(r, z, t^*)$  пропорциональны приращениям показателя преломления среды  $\Delta n_{K,pl}(r, z, t^*)$ . Представим в окрестности оси филамента радиальные зависимости приращений  $\Delta n_K(r, z, t^*)$  и  $\Delta n_{pl}(r, z, t^*)$  в виде рядов, удерживая первые два члена разложения:

$$\Delta n_K(r, z, t^*) = \Delta n_K(r = 0, z, t^*) + \frac{1}{2} \frac{\partial^2 \Delta n_K(r, z, t^*)}{\partial r^2} \Big|_{r=0} r^2, \quad (4)$$

$$\Delta n_{pl}(r, z, t^*) = \Delta n_{pl}(r = 0, z, t^*) + \frac{1}{2} \frac{\partial^2 \Delta n_{pl}(r, z, t^*)}{\partial r^2} \Big|_{r=0} r^2.$$

Первые слагаемые в (4) – приращения показателя преломления на оси филамента, вызванные керровской ( $\Delta n_K(r = 0, z, t^*)$ ) и плазменной ( $\Delta n_{pl}(r = 0, z, t^*)$ ) нелинейностями. Равенство абсолютных значений этих слагаемых положено в основу анализа, выполненного в работах [12, 14] для оценки пиковой интенсивности в филаменте. Вторые слагаемые в (4) определяют кривизну радиальных распределений приращений показателя преломления и, следовательно, приращений фазы комплексной амплитуды, наведенных излучением. Представление (4) соответствует параболическому приближению в теории распространения световых пучков. Можно ввести для некоторого малого интервала на длине распространения импульса  $\Delta z$  оптические силы керровской ( $D_K(z, t^*)$ ) и плазменной ( $D_{pl}(z, t^*)$ ) нелинейных линз:

$$D_K(z, t^*) = \frac{\partial^2 \Delta n_K(r, z, t^*)}{\partial r^2} \Big|_{r=0} \Delta z, \quad (5)$$

$$D_{pl}(z, t^*) = \frac{\partial^2 \Delta n_{pl}(r, z, t^*)}{\partial r^2} \Big|_{r=0} \Delta z.$$

Соотношение между оптическими силами нелинейных линз, наведенных в среде лазерным излучением, определяет эволюцию распределения интенсивности во временном слое  $t^*$  импульса.

## 3. Пространственные распределения интенсивности лазерного излучения и наведенных изменений показателя преломления

Для анализа эволюции интенсивности светового поля и приращений показателя преломления среды, обусловленных керровской ( $\Delta n_K(r, z, t)$ ) и плазменной ( $\Delta n_{pl}(r, z, t)$ ) нелинейностями, численно решена самоглаживанная нестационарная задача о филаментации в воздухе фемтосекундного лазерного излучения, которая включает в себя выражения (1)–(3) и уравнение для огибающей импульса  $E(r, z, t)$  в движущейся системе координат

$$2ik_0 \frac{\partial E(r, z, t)}{\partial z} = \Delta_\perp E(r, z, t) + k_0 k_2 \frac{\partial^2 E(r, z, t)}{\partial t^2} + 2k_0^2 [\Delta n_K(r, z, t) + \Delta n_{pl}(r, z, t)] E(r, z, t) + i\alpha E(r, z, t), \quad (6)$$

где  $k_0 = 2\pi/\lambda$ . Первое и третье слагаемые в правой части (6) описывают «дифракцию импульса» и нелинейные изменения фазы огибающей, второе слагаемое с коэффициентом  $k_2 = \partial^2 k_0 / \partial \omega^2$  – дисперсию групповой скорости, а последнее с коэффициентом  $\alpha$  – уменьшение амплитуды при фотоионизации воздушной среды. В уравнении (6) не учитываются более высокие порядки теории дисперсии. Рассматривается коллимированное излучение с гауссовым распределением амплитуды поля в пространстве и во времени:

$$E(r, z = 0, t) = E_0 \exp[-r^2/(2a_0^2)] \exp[-t^2/(2\tau_0^2)]. \quad (7)$$

В качестве примера ниже представлены результаты расчета для центрального временного слоя ( $t = 0$ ) импульсного излучения на длине волны 800 нм с энергией  $W = 2.6$  мДж, пиковой мощностью  $P_{\text{peak}} = 14.5$  ГВт и параметрами распределения  $a_0 = 1.2$  мм,  $\tau_0 = 100$  фс. Импульсы с близкими параметрами используются в лабораторных экспериментах по филаментации излучения в воздухе. На рис.1 приведены пространственные распределения интенсивности  $I(r)|_{t=0}$  и приращений фазы, обусловленных керровской ( $\Delta\phi_K(r)|_{t=0}$ ) и плазменной ( $\Delta\phi_{pl}(r)|_{t=0}$ ) нелинейностями, построенные для ряда расстояний  $z$  в окрестности старта филамента в плоскости, перпендикулярной направлению распространения излучения. Радиальные распределения керровского приращения показателя преломления  $\Delta n_K(r)$  в среде и интенсивности  $I(r)$  импульса подобны. На расстоянии  $z = z_1$  приращение  $\Delta n_K(r)$  является положительным, а нелинейная фаза в приосевой области импульса – отрицательной ( $\Delta\phi_K < 0$ ), что соответствует линзе с положительной оптической силой ( $D_K(z_1) > 0$ ), которая фокусирует излучение.

В дальнейшем интенсивность возрастает и увеличивается концентрация электронов в лазерной плазме, отрицательный вклад которой в приращение показателя преломления ( $\Delta n_{pl}(r) < 0$ ) становится заметным при  $z = z_2$ . Это вызывает положительный набег нелинейной фазы ( $\Delta\phi_{pl} > 0$ ) и, как следствие, появление на оси филамента линзы с отрицательной оптической силой ( $D_{pl}(z_2) < 0$ ). Размер апертуры плазменной линзы определяется диаметром плазменного канала, который меньше диаметра филамента, определяющего апертуру керровской линзы. Поэтому интенсивность на оси филамента возрастает за счет «перетекания» излучения с периферии поперечного сечения пучка, который продолжает фокусироваться широкоапертурной керровской линзой.

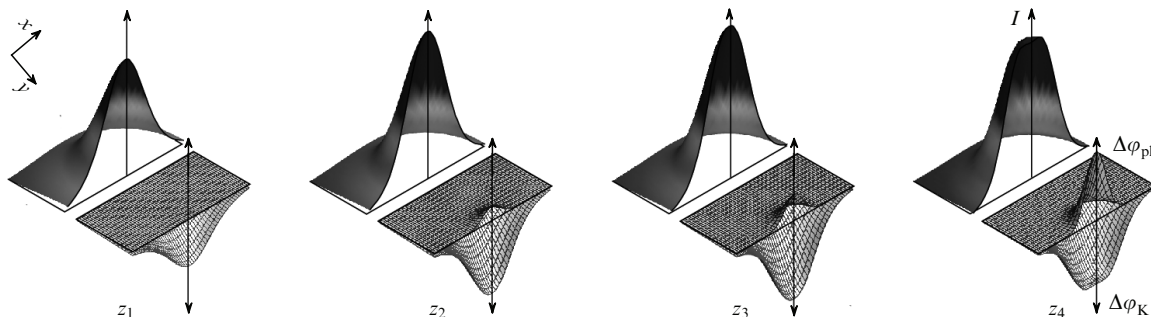


Рис.1. Распределения интенсивности  $I(r)|_{t=0}$  (верхний ряд), а также нелинейных набегов фазы, обусловленных керровской ( $\Delta\phi_K(r)$ ) и плазменной ( $\Delta\phi_{pl}(r)$ ) нелинейностями (нижний ряд), для центрального временного слоя импульса ( $t = 0$ ) на характерных расстояниях  $z$  в окрестности старта филамента в воздухе, изображенные на полуплоскости, перпендикулярной направлению распространения излучения. Параметры импульса приведены в тексте.

На расстоянии  $z = z_3$  рост интенсивности импульса прекращается. Однако по модулю приращение показателя преломления и, следовательно, набег фазы, вызванные керровской нелинейностью, значительно больше обусловленных плазменной нелинейностью:  $|\Delta n_K(r)| \gg |\Delta n_{pl}(r)|$  и  $|\Delta\phi_K| \gg |\Delta\phi_{pl}|$ . На расстоянии  $z = z_4$  равны значения на оси ( $r = 0$ ) абсолютных приращений показателей преломления и набегов фаз, вызванных керровской и плазменной нелинейностями:  $|\Delta n_K(r = 0)| = |\Delta n_{pl}(r = 0)|$  и  $|\Delta\phi_K(r = 0)| = |\Delta\phi_{pl}(r = 0)|$ . При этом интенсивность меньше пикового значения, достигаемого при  $z \approx z_3$ .

#### 4. Эволюция параметров филамента и оптической силы нелинейных линз

Изменение с расстоянием осевых значений интенсивности  $I(z)|_{r=0}$  и концентрации электронов  $N_e(z)|_{r=0}$  для центрального временного слоя ( $t = 0$ ) рассматриваемого импульса приведено на рис.2,а, а приращений показателя преломления, обусловленных керровской ( $\Delta n_K(z)|_{r=0}$ ) и плазменной ( $\Delta n_{pl}(z)|_{r=0}$ ) нелинейностями, и их суммы  $[\Delta n_K(z) + \Delta n_{pl}(z)]|_{r=0}$  – на рис.2,б. Эволюцию с расстоянием оптической силы керровской ( $D_K(z)$ ) и плазменной ( $D_{pl}(z)$ ) нелинейных линз, а также их суммы иллюстрирует рис.2,в. До расстояния  $z = z_1$  концентрация электронов на оси на четверть порядка меньше, чем нейтральных молекул ( $N_0 \approx 10^{19} \text{ см}^{-3}$ ), приращение показателя преломления  $\Delta n_{pl}(z)|_{r=0}$  и оптическая сила линзы  $D_{pl}(z)$ , создаваемой плазмой, близки к нулю и не влияют на колапсирующий рост интенсивности импульса, вызванный керровской нелинейностью, для которой  $\Delta n_K(z)|_{r=0} > 0$  и  $D_K(z) > 0$ . При  $z_2 \approx 3.41$  м концентрация электронов на оси возрастает до  $\sim 10^{16} \text{ см}^{-3}$  (рис.2,а), плазменное приращение показателя преломления по модулю много меньше, чем керровское ( $|\Delta n_{pl}| \ll |\Delta n_K|$ ) (рис.2,б). Однако модули оптических сил плазменной ( $|D_{pl}|$ ) и керровской ( $|D_K|$ ) линз сравнимы, что останавливает дальнейшее увеличение с расстоянием их суммарной фокусирующей силы (рис.2,в). Это приводит к замедлению лавинного нарастания интенсивности на оси, характерного для самофокусировки лазерного пучка.

Интенсивность светового поля насыщается в филаменте, когда оптические силы керровской и плазменной линз равны по модулю:

$$|D_K(z_3)| = |D_{pl}(z_3)|. \quad (8)$$

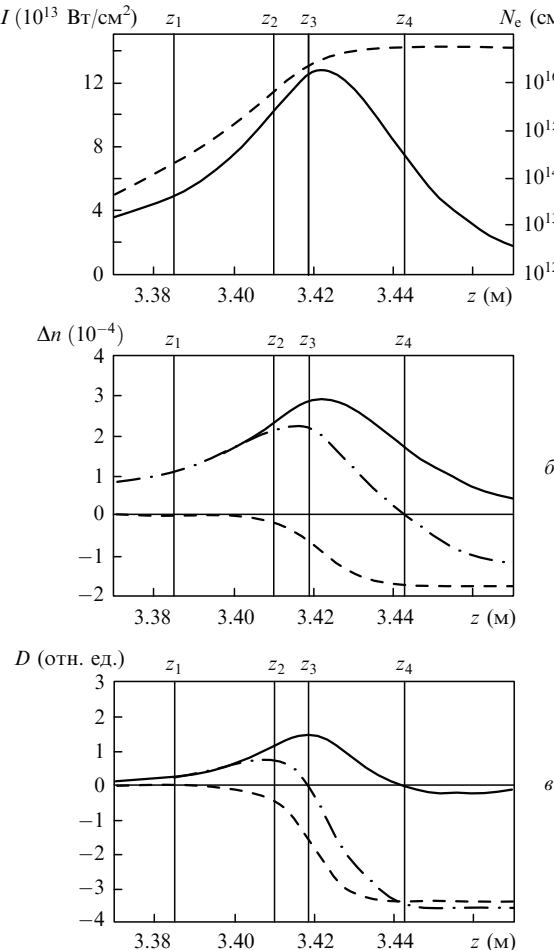


Рис.2. Изменения с расстоянием  $z$  в окрестности старта филамента осевых значений интенсивности  $I(z)|_{r=0}$  (сплошная кривая) и концентрации электронов  $N_e(z)|_{r=0}$  (штриховая кривая) в центральном временном слое импульса ( $t = 0$ ) (а), керровского ( $\Delta n_K(z)|_{r=0}$ ) (сплошная кривая) и плазменного ( $\Delta n_{pl}(z)|_{r=0}$ ) (штриховая кривая) приращений показателя преломления и их суммы (штрих-пунктирная кривая), наведенных в воздухе (б), а также изменение с расстоянием оптических сил керровской ( $D_K(z)$ ) (сплошная кривая) и плазменной ( $D_{pl}(z)$ ) (штриховая кривая) линз и их суммы (штрих-пунктирная кривая) (в). Параметры импульса те же, что и для рис.1.

Для рассматриваемого импульса интенсивность при  $z_3 \approx 3.42$  м с хорошей точностью равна пиковой интенсивности  $I_{peak}$  в филаменте (рис.2,а). Незначительное отличие  $z_3$  от расстояния, на котором происходит действительное насыщение интенсивности, и которое определяется из уравнения (6), связано с погрешностью приосевого безабберационного приближения (4). Абсолютные значения осевых приращений показателя преломления, обусловленных керровской и плазменной нелинейностями, становятся равными при  $z = z_4$ , когда интенсивность приблизительно в полтора раза меньше пиковой (рис.2а, б). При  $z = z_4$  оптическая сила керровской линзы близка к нулю и результирующее влияние нелинейностей сводится к плазменной дефокусировке (рис.2,в), которая вызывает образование кольца в распределении интенсивности (рис.1). С уменьшением интенсивности при  $z > z_4$  резко снижается скорость ионизации, для которой справедлива оценка  $R(I) \sim I^K$ , где  $K$  – порядок многофотонности, равный 8 для молекул кислорода и 11 для молекул азота.

Влияние масштабов пространственного распределения наведенных приращений показателя преломления на

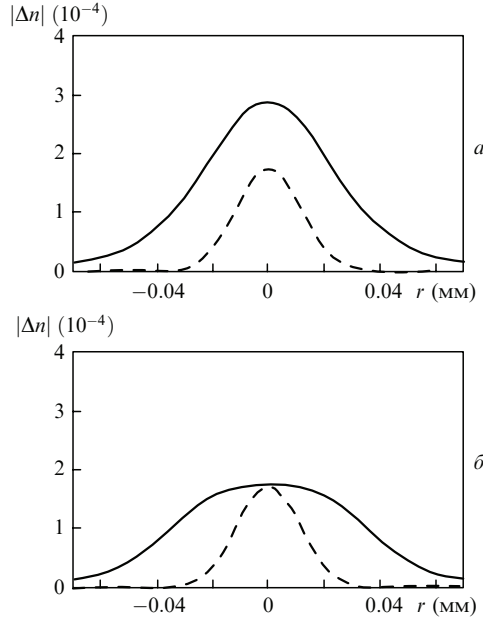


Рис.3. Радиальные профили модулей керровского ( $|\Delta n_K(r)|$ ) (сплошные кривые) и плазменного ( $|\Delta n_{pl}(r)|$ ) (штриховые кривые) приращений показателя преломления в центральном временном слое импульса ( $t = 0$ ) для расстояний, на которых равны оптические силы нелинейных линз (а) и приращения на оси ( $r = 0$ ) (б).

оптическую силу нелинейной линзы демонстрирует рис.3. Диаметр плазменного канала приблизительно вдвое меньше диаметра филамента, в пределах которого наводится керровская нелинейность. Поэтому плазма создает линзу, оптическая сила которой равна по модулю оптической силе керровской линзы при осевом приращении показателя преломления  $\Delta n_{pl}|_{r=0}$ , вдвое меньшем  $\Delta n_K|_{r=0}$  (рис.3,а). При равных по модулю осевых приращениях показателей преломления масштаб пространственного распределения керровского приращения  $|\Delta n_K(r)|$  значительно больше, чем плазменного приращения  $|\Delta n_{pl}(r)|$ , и оптическая сила керровской линзы много меньше, чем плазменной (рис.3,б).

Как показали численные эксперименты, полученные закономерности выполняются для разных временных слоев на фронте и хвосте импульсов при различных длинах волн излучения.

## 5. Модифицированный анализ Джавана – Келли

На расстоянии, где оптические силы нелинейных линз равны по модулю, интенсивность светового поля на оси пучка импульсного излучения практически совпадает с пиковой интенсивностью  $I_{peak}$ , а концентрация электронов в наведенной плазме близка к максимальной величине  $N_e peak$  (рис.2,а). Это позволяет из условия (8) получить аналитическое соотношение между пиковыми значениями интенсивности и концентрации электронов на оси, а также поперечными размерами филамента и плазменного канала.

Аппроксимируем в окрестности оси радиальные распределения интенсивности  $I(r)$  и концентрации электронов  $N_e(r)$  при насыщении гауссовыми функциями:

$$I(r) = I_{peak} \exp(-r^2/r_{int}^2), \quad (9)$$

$$N_e(r) = N_{e \text{ peak}} \exp(-r^2/r_{pl}^2).$$

В экспериментах радиус филамента  $r_{fil}$  определяется по распределению поверхностной плотности энергии в поперечном сечении филамента  $F(r, z)$ , измеряемой на некотором расстоянии  $z$ :

$$F(r, z) = \int I(r, z, t) dt. \quad (10)$$

Поскольку в окрестности оси филамента основной вклад в распределение  $F(r, z)$  вносит временной слой, в котором интенсивность максимальна, можно считать, что

$$r_{fil} \approx r_{int}. \quad (11)$$

Параметр  $r_{pl}$  в (9) равен радиусу плазменного канала.

Положим, что длительность импульса достаточно велика и запаздыванием отклика кубической нелинейности воздушной среды можно пренебречь. Тогда выражение (1) принимает вид

$$\Delta n_K(r, z, t) = n_2 I(r, z, t). \quad (12)$$

Подставляя (2) и (12) в (5), используя аппроксимацию (9) и приближение (11), получаем из условия (8) следующее соотношение:

$$n_2 \frac{I_{\text{peak}}}{r_{fil}^2} = \frac{e^2 \lambda^2}{8\pi^2 \epsilon_0 m_e c_0^2} \frac{N_{e \text{ peak}}}{r_{pl}^2}. \quad (13)$$

Это соотношение позволяет оценить один из неизвестных параметров филамента, определить тенденции изменений пиковых значений интенсивности  $I_{\text{peak}}$  и концентрации электронов  $N_{e \text{ peak}}$ , а также радиусов  $r_{fil}$  и  $r_{pl}$  при варьировании длины волны излучения. Согласно результатам численных экспериментов, выполненных для импульсов излучения с длинами волн 0.4–1.24 мкм, точность оценки (13) относительно невелика. Отношение радиусов филамента и плазменного канала  $r_{fil}/r_{pl}$ , оцененное по (13), приблизительно вдвое превышает значение, полученное в численном эксперименте при определении  $r_{fil}$  по профилю поверхностной плотности энергии в сечении филамента.

## 6. Заключение

Интенсивность лазерного излучения в филаменте насыщается вследствие динамического баланса оптических сил наведенных этим излучением линз: фокусирующей, которая обусловлена керровской нелинейностью среды, и дефокусирующей, которую создает лазерная плазма. При распространении импульса лавинный рост интенсивности в его временных слоях, вызванный керровской

нелинейностью, сменяется ее медленным увеличением на расстоянии, на котором прекращается рост суммарной фокусирующей силы нелинейных линз при возникновении лазерной плазмы. Интенсивность излучения насыщается и достигает пикового значения в филаменте, если равны по модулю оптические силы линз, связанные с керровской и плазменной нелинейностями, а не абсолютные приращения показателей преломления, вызванные этими нелинейностями. Из условия баланса оптических сил нелинейных линз, наведенных излучением, следует оценка для соотношения между пиковыми значениями интенсивности и концентрации электронов, а также по перечными размерами филамента и плазменного канала.

Рассмотренный сценарий насыщения интенсивности обобщается на импульсы излучения тераваттной мощности, в котором образуется пучок, состоящий из хаотического множества взаимодействующих филаментов и плазменных каналов [20].

В.П.Кандидов благодарит за поддержку РФФИ (грант № 08-02-00517а).

1. Chin S.L., Hosseini S.A., Liu W., Luo Q., Theberge F., Akozbek N., Becker A., Kandidov V., Kosareva O., Schroeder H. *Can. J. Phys.*, **83**, 863 (2005).
2. Couairon A., Mysyrowicz A. *Phys. Rep.*, **441**, 47 (2007).
3. Berge L., Skupin S., Nuter R., Kasparian J., Wolf J.-P. *Rep. Prog. Phys.*, **70**, 1633 (2007).
4. Кандидов В.П., Шленов С.А., Косарева О.Г. *Квантовая электроника*, **39**, 205 (2009).
5. Yablonovich E., Bloembergen N. *Phys. Rev. Lett.*, **29**, 907 (1972).
6. Tzortzakis S., Franco M.A., Andre Y.-B., Chiron A., Lamouroux B., Prade B.S., Mysyrowicz A. *Phys. Rev. E*, **60**, 3505 (1999).
7. Schillinger H., Sauerbrey R. *Appl. Phys. B*, **68**, 753 (1999).
8. Talebpour A., Abdel-Fattah M., Chin S.L. *Opt. Commun.*, **183**, 479 (2000).
9. Mechain G., Couairon A., Andre Y.-B., D'Amico C., et al. *Appl. Phys. B*, **79**, 379 (2004).
10. Bejot P., Kasparian J., Henin S., Loriot V., Vieillard T., Hertz E., Faucher O., Lavorel B., Wolf J.-P. *Phys. Rev. Lett.*, **104**, 103903 (2010).
11. Kolesik M., Wright E.M., Moloney J.V. *Opt. Lett.*, **35**, 2550 (2010).
12. Braun A., Korn G., Liu X., Du D., Squier J., Mourou G. *Opt. Lett.*, **20**, 73 (1995).
13. Javan A., Kelley P. *IEEE J. Quantum Electron.*, **2** (9), 470 (1966).
14. Kasparian J., Sauerbrey R., Chin S.L. *Appl. Phys. B*, **71**, 877 (2000).
15. Jiansheng Liu, Zuoliang Duan, Zhinan Zeng, Xinhua Xie, Yunpei Deng, Ruxin Li, Zhizhan Xu, Chin S.L. *Phys. Rev. E*, **72**, 026412 (2005).
16. Fedorov V.Yu., Kandidov V.P., Kosareva O.G., Tverskoy O.V., Chin S.L. *Book of Abstracts. COFIL'2010* (Crete, Greece, 2010, p. 107).
17. Oleinikov P.A., Platonenko V.T. *Laser Phys.*, **3**, 618 (1993).
18. Mlejnek M., Wright E.M., Moloney J.V. *Opt. Lett.*, **23**, 382 (1998).
19. Виноградова М.Б., Руденко О.В., Сухоруков А.П. *Теория волн* (М.: Наука, 1990).
20. Кандидов В.П., Шленов С.А. В сб.: *Глубокое канализование и филаментация мощного лазерного излучения в веществе* (М.: Интерконтакт Наука, 2009, ч. 2, с.185–266).